

## Отчет о выполнении третьего задания по вычислительной аэрогидродинамике.

### 1. Задание

Найти численное решение начально–краевой задачи для двумерного уравнения теплопроводности в единичном квадрате

$$\frac{\partial T}{\partial t} = k \left( \frac{\partial^2 T}{\partial x^2} + \frac{\partial^2 T}{\partial y^2} \right), 0 \leq x \leq 1, 0 \leq y \leq 1.$$

Значение коэффициента теплопроводности  $k$ , конкретная неявная разностная схема, которую нужно реализовать, начальные и граничные условия зависят от номера варианта.

- Проверить устойчивость и сходимость схемы на последовательности измельчающихся сеток.
- Сравнить с точным решением.
- Подготовить отчет.

Сдать задание до 25 марта.

### Вариант 5

$$k = \frac{1}{2\pi}, 0 \leq t \leq 1, T(x, y, 0) = \sin \pi x \sin \pi y,$$

$$T(0, y, t) = T(1, y, t) = T(x, 0, t) = T(x, 1, t) = 0.$$

Точное решение:

$$T_* = e^{-\pi t} \sin \pi x \sin \pi y.$$

Реализовать схему *расщепления*:

$$\frac{T_{ij}^{n+1/2} - T_{ij}^n}{\Delta t} = k \Lambda_x T_{ij}^{n+1/2}, \quad \Lambda_x T_{ij}^m = \frac{T_{i+1,j}^m - 2T_{ij}^m + T_{i-1,j}^m}{\Delta x^2},$$

$$\frac{T_{ij}^{n+1} - T_{ij}^{n+1/2}}{\Delta t} = k \Lambda_y T_{ij}^{n+1/2}, \quad \Lambda_y T_{ij}^m = \frac{T_{i,j+1}^m - 2T_{ij}^m + T_{i,j-1}^m}{\Delta y^2},$$

$$\Delta x = \frac{1}{N}, \Delta y = \frac{1}{M}, \Delta t = \frac{1}{P}.$$

Выполнить расчеты на последовательности сеток:

$$P = 10, \quad N = M = 5, \quad (\Delta t = 0.1, \Delta x = \Delta y = 0.2),$$

$$P = 40, \quad N = M = 10, \quad (\Delta t = 0.025, \Delta x = \Delta y = 0.1),$$

$$P = 160, \quad N = M = 20, \quad (\Delta t = 0.00625, \Delta x = \Delta y = 0.05).$$

Для исследования сходимости изучить поведение величины

$$\delta^n = \max_{i,j} |T_{ij}^n - T_*(i\Delta x, j\Delta y, n\Delta t)|.$$

в моменты времени  $t = 0.1, 0.2, \dots, 1.0$ .

## 2. Реализация программы

Программа была написана на языке программирования C++ в редакторе VSCode и скомпилирована компилятором g++ с использованием стандарта C++17. Для построения графиков использовалась программа gnuplot.

## 3. Сходимость и устойчивость

Схема расщепления [Яненко (1959)]

$$\begin{aligned} \frac{u_{ij}^{n+1/2} - u_{ij}^n}{\Delta t} &= \Lambda_x u_{ij}^{n+1/2}, \\ \frac{u_{ij}^{n+1} - u_{ij}^{n+1/2}}{\Delta t} &= \Lambda_y u_{ij}^{n+1/2}, \quad \mathcal{O}(\Delta t, \Delta x^2, \Delta y^2). \end{aligned}$$

$$g = g_x g_y = \frac{1}{1 + \frac{4\Delta t}{\Delta x^2} \sin^2 \frac{\alpha \Delta x}{2}} \cdot \frac{1}{1 + \frac{4\Delta t}{\Delta y^2} \sin^2 \frac{\beta \Delta y}{2}}, \quad |g| < 1.$$

Схема устойчива для любых  $\Delta t, \Delta x, \Delta y$ .

В данных расчетах:

$$s = \frac{k\Delta t}{\Delta x^2} = \frac{k\Delta t}{\Delta y^2} = \frac{5}{\pi}.$$

В ходе численного решения уравнения были получены графики ошибок  $\delta$  для различных чисел разбиения (рис. 1). На графике видно, что ошибка экспоненциально убывает на больших временах, когда как на малых может расти при малом числе разбиений. Вероятно, это связано с тем, что при малом числе разбиений ошибка копится быстрее, чем убывает значение функции. Экспоненциальный спад показывает, что ошибка пропорциональна значению функции.

При возрастании числа разбиений ошибка спадает примерно, как  $1/N$  (рис. 2).

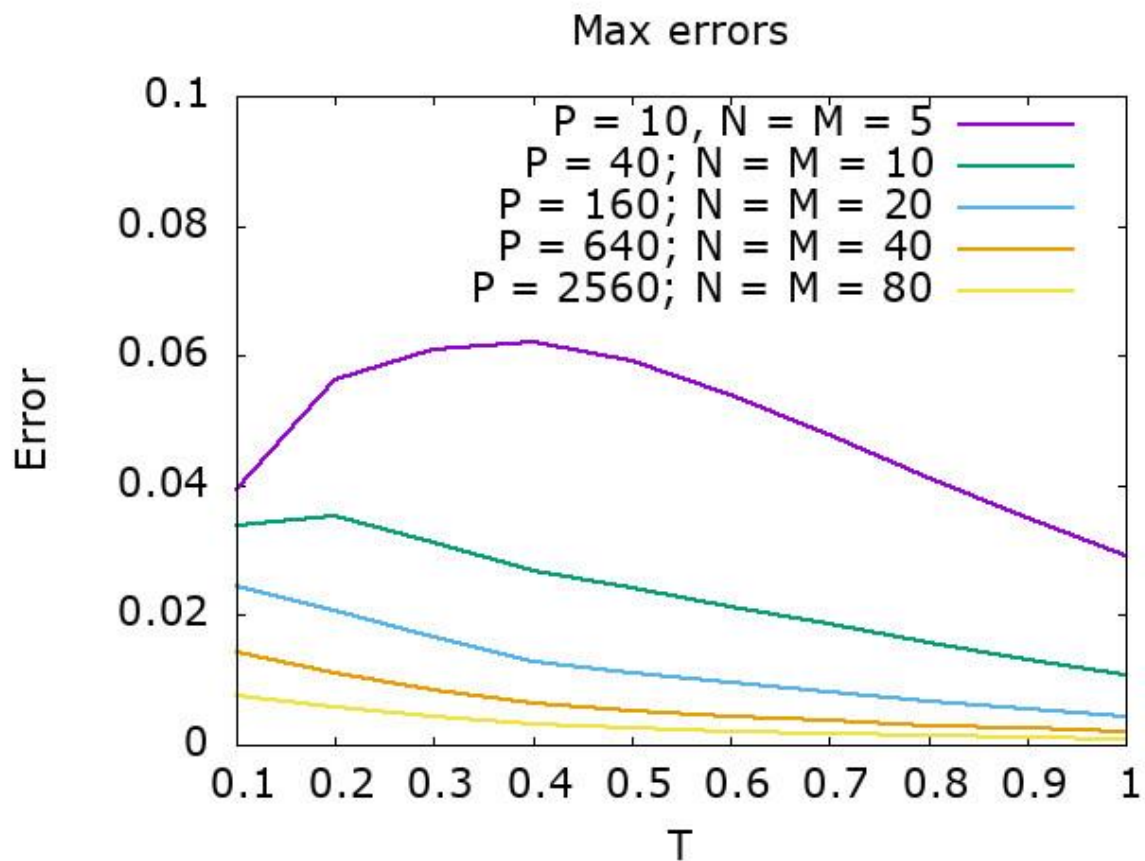


Рис. 1. График зависимости ошибки  $\delta$  от времени для разных чисел разбиения.

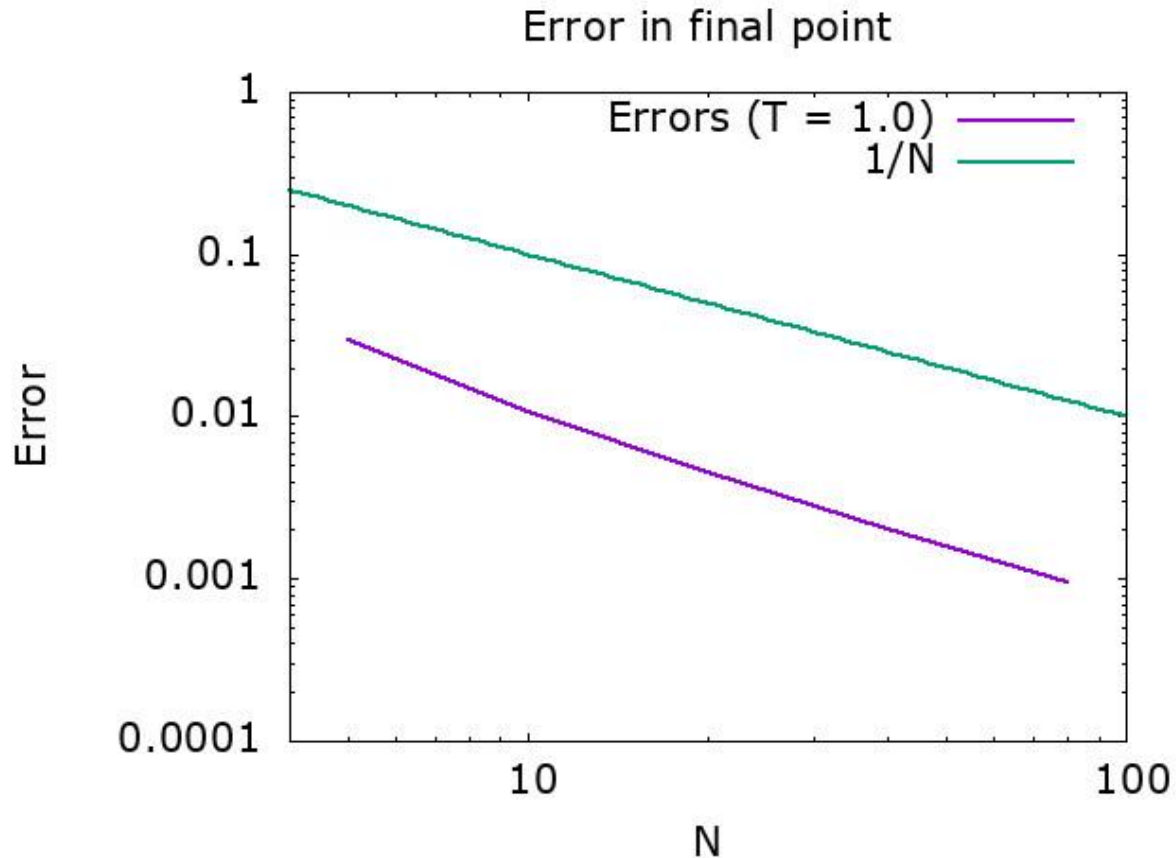


Рис. 2. График зависимости ошибки  $\delta$  от числа разбиений при  $T = 1,0$ .

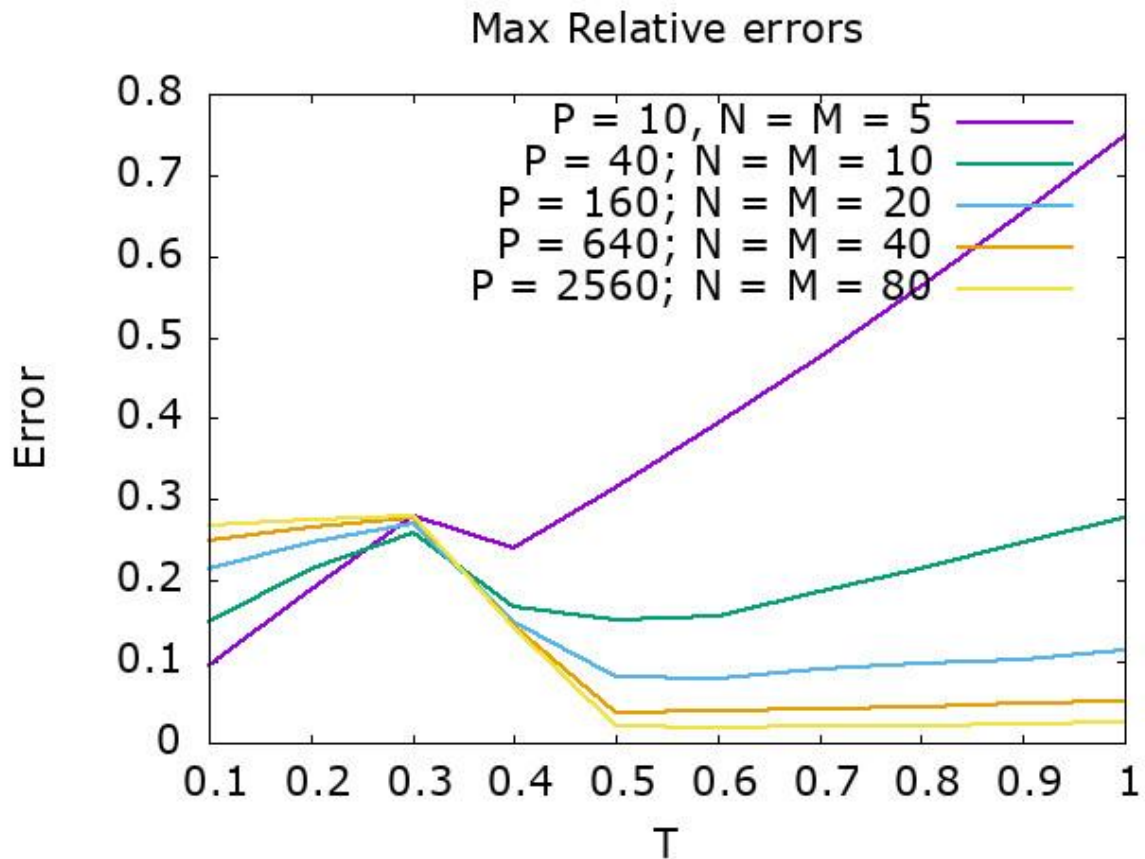


Рис. 3. График зависимости относительной ошибки от времени для разных чисел разбиения.

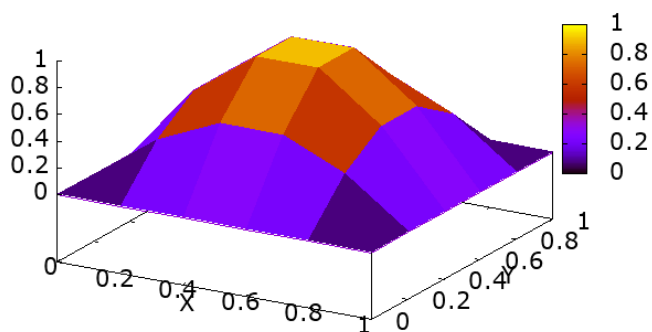
#### 4. Сравнение численного решения с точным

На графиках (рис. 4-6) видно, что решение постепенно убывает со временем. Для сравнения численных решений с точным можно посмотреть на график ошибки (рис.1), из которого видно, что решение становится точнее при увеличении числа разбиений. Так же себя ведет и относительная ошибка (рис. 3).

Для наглядного сравнения точного и численных решений были построены графики сечения функции при  $T = 0.5$ ,  $Y = 0.5$  (рис.7). Из этих графиков хорошо видно на сколько решения для каждого числа разбиений близки к точному.

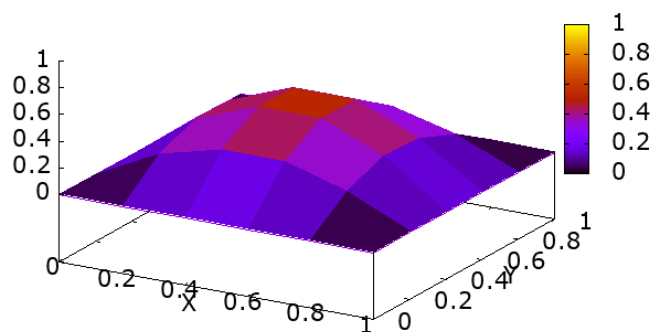
Solution of heat conductivity equation.  
 $P = 10, N = M = 5$

$T = 0.00$



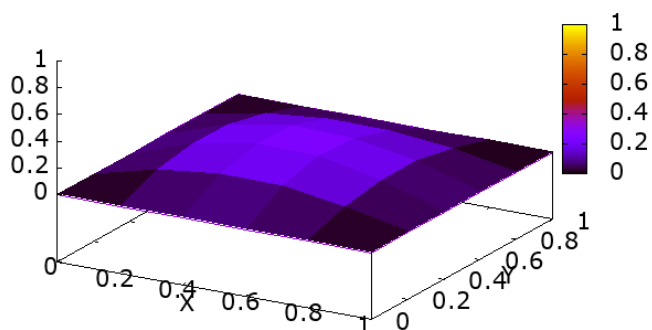
Solution of heat conductivity equation.  
 $P = 10, N = M = 5$

$T = 0.20$



Solution of heat conductivity equation.  
 $P = 10, N = M = 5$

$T = 0.50$



Solution of heat conductivity equation.  
 $P = 10, N = M = 5$

$T = 1.00$

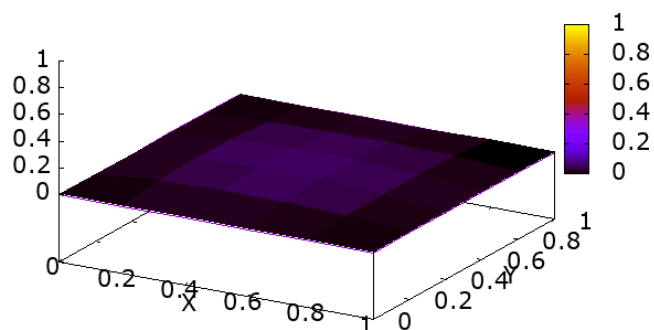
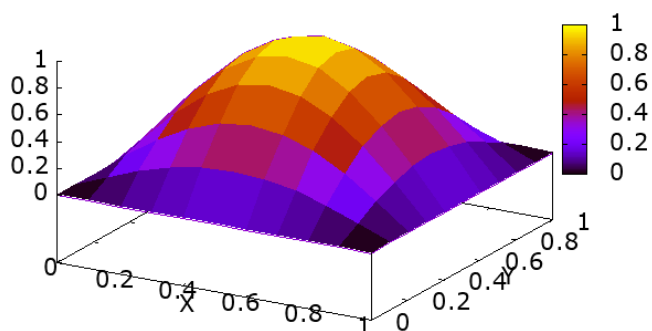


Рис. 4. График решения для  $P = 10, N = M = 5$ .

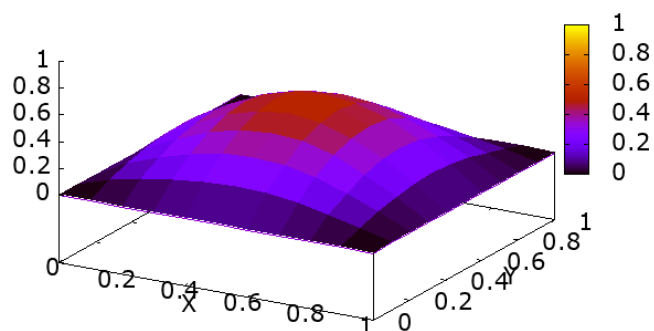
Solution of heat conductivity equation.  
 $P = 40; N = M = 10$

$T = 0.00$



Solution of heat conductivity equation.  
 $P = 40; N = M = 10$

$T = 0.20$



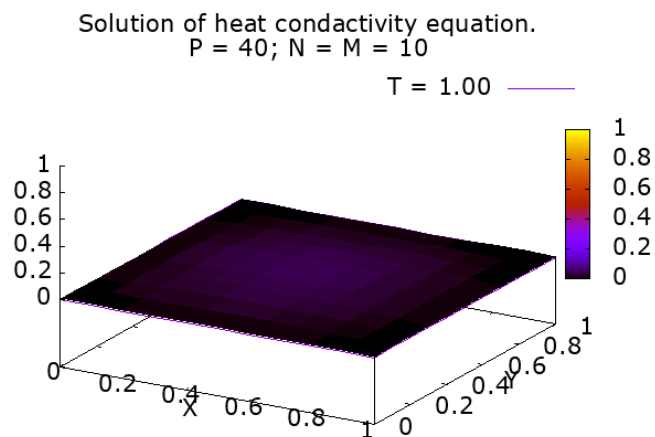
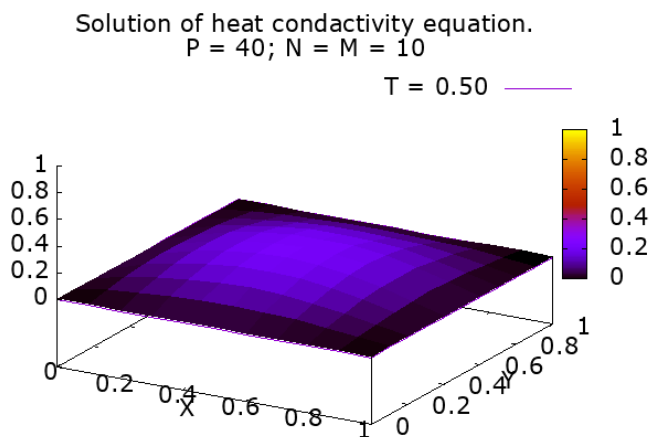


Рис. 5. График решения для  $P = 40, N = M = 10$ .

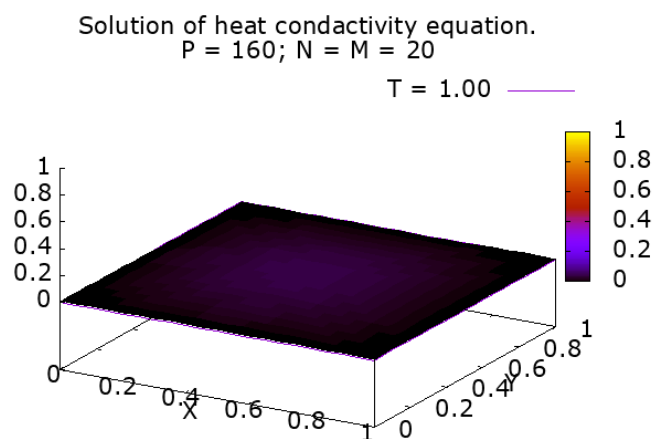
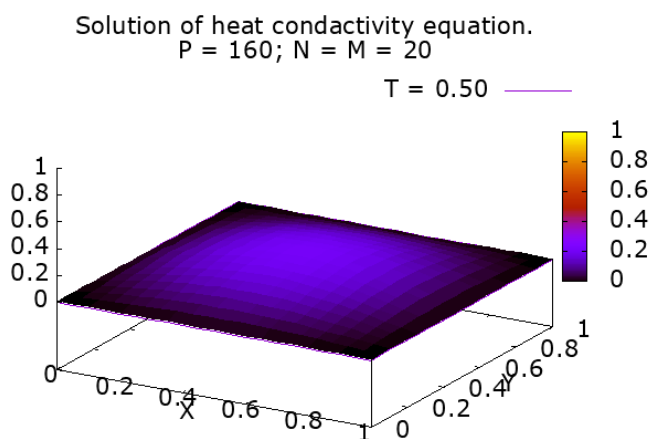
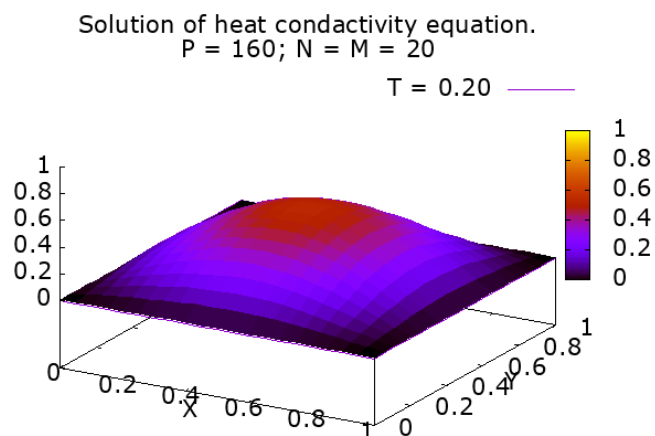
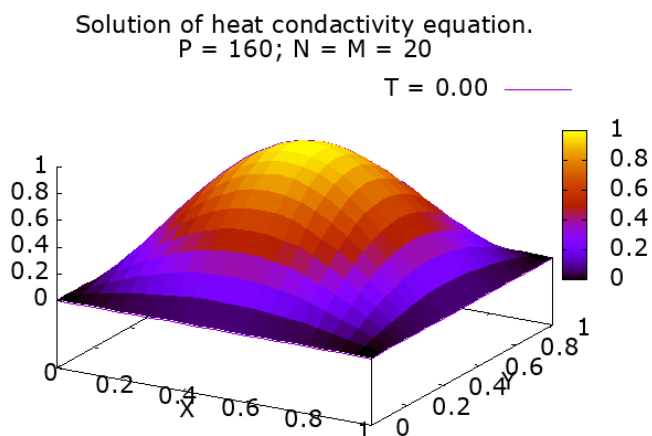


Рис. 6. График решения для  $P = 160, N = M = 20$ .

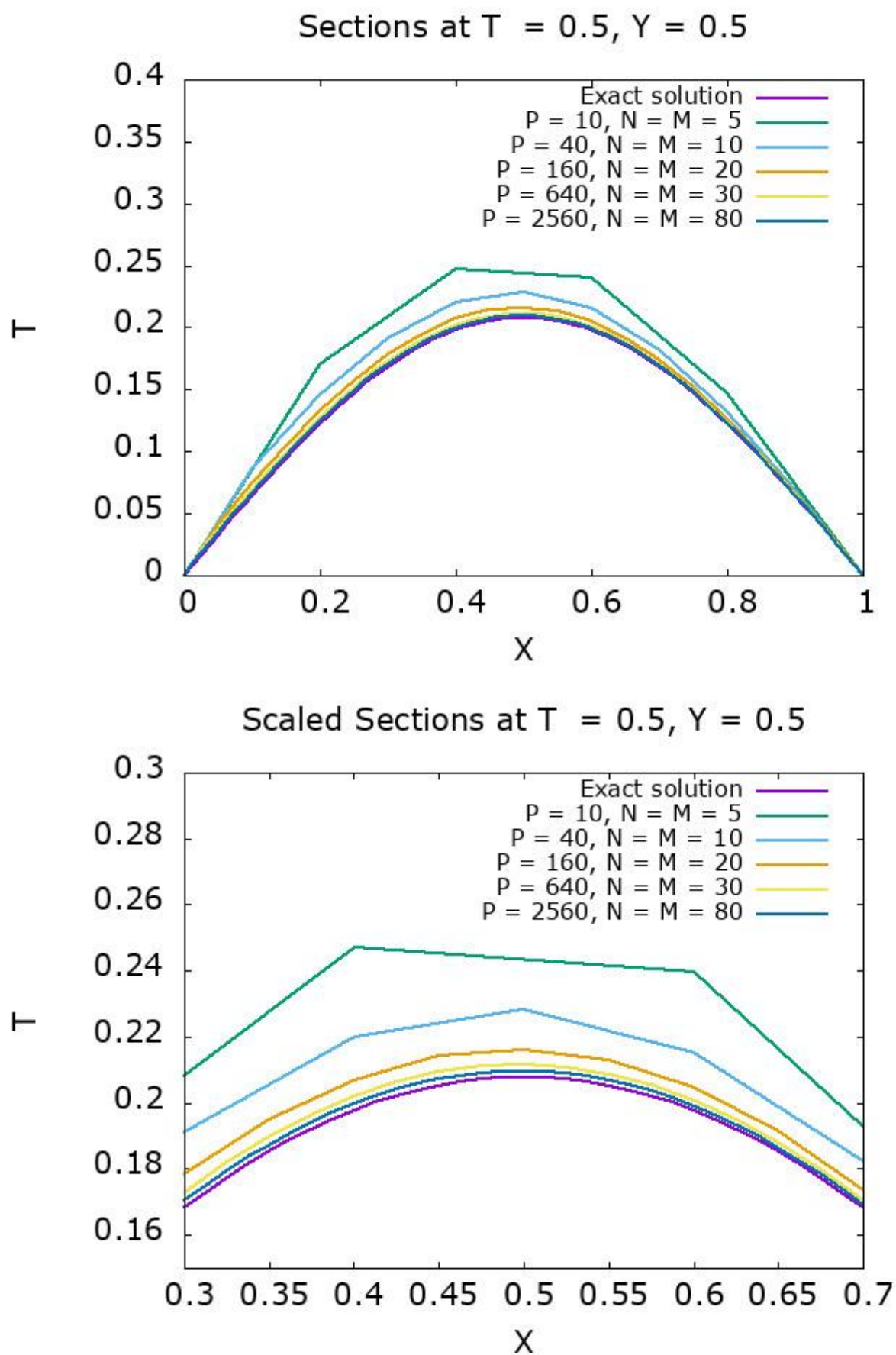


Рис. 7. Графики сечений решений для различных чисел разбиений.

## 5. Вывод

Схема расщепления является абсолютно устойчивой схемой 2 (в теории) порядка точности по координате и 1 по времени. Численное решение полученное по этой схеме сходится к точному при увеличении числа разбиений, однако максимальная ошибка убывает как  $1/N$ , что не соответствует теории.